

การตัดแยกและการหาสภาวะที่เหมาะสมสำหรับการเลี้ยงสไปรูลิน่า

เพื่อผลิตไฟโคไซยามิน



นางสาว ดวงรัตน์ อินทร

วิทยานิพนธ์นี้เป็นส่วนหนึ่งของการศึกษาตามหลักสูตรปริญญาวิทยาศาสตรมหาบัณฑิต

หลักสูตรเทคโนโลยีชีวภาพ

บัณฑิตวิทยาลัย จุฬาลงกรณ์มหาวิทยาลัย


พ.ศ. 2534

ISBN 974-579-601-8

ลิขสิทธิ์ของบัณฑิตวิทยาลัย จุฬาลงกรณ์มหาวิทยาลัย

017894 11112201110

ISOLATION AND OPTIMIZATION OF SPIRULINA CULTURES
FOR PHYCOCYANIN PRODUCTION



MISS DUANGRAT INTHORN

A Thesis Submitted in Partial Fulfillment of Requirements
for the Degree of Master of Science
Programme of Biotechnology

Graduate School
Chulalongkorn University

1991

ISBN 974-579-601-8



Thesis Title Isolation and Optimization of Spirulina
Cultures for Phycocyanin Production

By Miss Duangrat Inthorn

Department Biotechnology

Thesis Advisor Associate Professor Aran Incharoensakdi,
Ph.D.

Accepted by the Graduate School, Chulalongkorn
University in Partial Fulfillment of the Requirements for
the Master's Degree

Thavorn Vajrabhaya.....Dean of Graduate School
(Professor Thavorn Vajrabhaya, Ph.D.)

Thesis Committee

.....*Suthep Thaniyavarn*.....Chairman
(Assistant Professor Suthep Thaniyavarn, Ph.D.)

.....*Aran Incharoensakdi*.....Thesis Advisor
(Associate Professor Aran Incharoensakdi, Ph.D.)

.....*Pongtep Antarikanonda*..... Member
(Dr.Pongtep Antarikanonda, Ph.D.)

.....*Boosya Bunnag*..... Member
(Assistant Professor Boosya Bunnag)

พิมพ์ต้นฉบับที่ผลิตโดย วิทยาลัยเทคโนโลยีภาคใต้ ในกรอบสี่เหลี่ยมที่เรียงกันด้วย

ดวงรัตน์ อินทร : การคัดแยกและหาสภาวะที่เหมาะสมสำหรับการเลี้ยงสาหร่ายสีน้ำเงินเพื่อผลิตไฟโคไซยานิน (ISOLATION AND OPTIMIZATION OF SPIRULINA CULTURES FOR PHYCOCYANIN PRODUCTION) อ.ที่ปรึกษา รองคณบดี อาจารย์ ดร.อรรณี อินเจริญศักดิ์, 170 หน้า. ISBN 974-579-601-8

ทำการแยกสาหร่ายสีน้ำเงินจากบ่อเลี้ยงเต่าวัดเบญจมบพิตรและบึงมกกะสัน โดยนำมากรองด้วยผ้ากรองขนาด 40 ไมครอนและเลี้ยงในอาหารเลี้ยงเชื้อชารูค นำสาหร่ายจากสถาบันประมงน้ำจืดแห่งชาตินำมาทำการทดลองด้วยรวมเป็น 3 สายพันธุ์ ทำให้เป็นยูนิตแอลกัล โดยวิธีซึ่งเกิดเซลล์โพลีเลชัน สภาวะที่เหมาะสมเพื่อให้สาหร่ายสีน้ำเงินสังเคราะห์ไฟโคไซยานินในปริมาณสูง โดยปรับสูตรอาหารเลี้ยงเชื้อชารูคที่เปลี่ยนแปลงความเข้มข้นของไฮเดียมโบคาร์บอเนต ไฮเดียมไนเตรต โดโปล์เซียม-ไฮโดรเจน ฟอสเฟต ไฮเดียมคลอไรด์ รวมทั้งศึกษาถึงความเข้มข้นของแสงและชนิดของแสงที่เหมาะสมด้วย พบว่าสภาวะที่เหมาะสมคือ ไฮเดียมโบคาร์บอเนต 8.4 กรัม/ลิตร ไฮเดียมไนเตรต 2.5 กรัม/ลิตร โดโปล์เซียมไฮโดรเจนฟอสเฟต 0.185 กรัม/ลิตร ไฮเดียมคลอไรด์ 1 กรัม/ลิตร ความเข้มแสงที่ 5000 ลักซ์ และทั้งในแสงสีเขียวและแสงสีแดงสาหร่ายสังเคราะห์ไฟโคไซยานินในปริมาณมากกว่าแสงขาว จากการศึกษาถึงการเปลี่ยนแปลงระดับของไฮเดียมไนเตรต พบว่าเมื่อเพิ่มความเข้มข้นของไฮเดียมไนเตรตจาก 0.33 กรัม/ลิตร เป็น 2.5 กรัม/ลิตร ไม่มีผลต่อการเจริญของสาหร่ายสีน้ำเงินและปริมาณไฟโคไซยานิน แต่เมื่อเพิ่มความเข้มข้นของไฮเดียมไนเตรตจาก 2.5 กรัม/ลิตร เป็น 10 กรัม/ลิตร พบว่าไฟโคไซยานินมีปริมาณสูงขึ้น ทำการเลี้ยงสาหร่ายสีน้ำเงินในสภาวะที่เหมาะสม แยกสกัดไฟโคไซยานินและทำให้บริสุทธิ์ โดยการตกตะกอนด้วยแอมโมเนียมซัลเฟต 20 - 65% นำไปผ่านคอลัมน์ ดีอีเออี-เซลลูโลสและเซฟาเดกซ์-150 เมื่อนำไฟโคไซยานินที่ได้ไปตรวจด้วยไฮเดียมโตะเตซิลลเฟต โพลีอะคริลาไมด์เจล อิเล็กโตรโฟรีซิส พบว่าประกอบด้วย 2 แบนด์ ซึ่งมีความเข้มข้นของแบนด์ไม่เท่ากัน ซึ่งคาดว่าจะจะเป็นไฟโคไซยานินและอัลโลไฟโคไซยานิน นำไปตรวจสอบต่อไปโดยผ่านไฮดรอกซิลอะพาไทท์คอลัมน์ พบว่าสามารถแยกไฟโคไซยานินและอัลโลไฟโคไซยานินออกจากกัน โดยพบว่าสามารถแยกได้ไฟโคไซยานินที่บริสุทธิ์ ซึ่งวิเคราะห์ด้วยไฮเดียมโตะเตซิลลเฟต โพลีอะคริลาไมด์เจลอิเล็กโตรโฟรีซิส พบว่ามีขนาดโมเลกุลของหน่วยย่อยประมาณ 14,000 ดาลตัน ในสาหร่ายวัดเบญจฯ และ 13,000 ดาลตัน ในสาหร่ายจากสถาบันประมงน้ำจืดแห่งชาติและบึงมกกะสัน

ศูนย์วิทยทรัพยากร
จุฬาลงกรณ์มหาวิทยาลัย

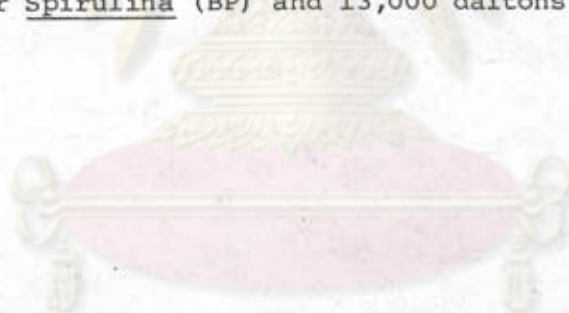


ภาควิชา หลักสูตร เทคโนโลยีชีวภาพ
สาขาวิชา หลักสูตร เทคโนโลยีชีวภาพ
ปีการศึกษา 2534

ลายมือชื่อนิสิต อ.อรรณี
ลายมือชื่ออาจารย์ที่ปรึกษา
ลายมือชื่ออาจารย์ที่ปรึกษาช่วย

DUANGRAT INTHORN : ISOLATION AND OPTIMIZATION OF SPIRULINA CULTURES FOR PHYCOCYANIN PRODUCTION. THESIS ADVISOR : ASSOC. PROF. ARAN INCHAROENSAKDI, Ph.D., 170 PP. ISBN 974-579-601-8

Spirulina from Wat Benjamaborpit pond (BP) and from Makkasan pond (MP) were isolated by a 40 μ nylon sieve and cultured in Zarrouk medium. Unialgal cultures were obtained from these 2 strains as well as the third strain donated by the National Inland Fisheries Institute (NIFI) by a technique of Single Cell Isolation. Optimization for high production of phycocyanin was done by varying concentrations of some components in the growth medium. Effects of light intensity and light quality on phycocyanin content were also studied. It was found that the optimal composition of growth medium as well as the intensity of light were the followings : NaHCO_3 8.4 g/l, NaNO_3 2.5 g/l, K_2HPO_4 0.185 g/l, NaCl 1 g/l and light intensity of 5000 lux. Both green and red light stimulated higher phycocyanin production than did white light. The effect of changing the level of NaNO_3 was also studied. It was found that adjusting content of NaNO_3 from low NaNO_3 (0.33 g/l) to that of Zarrouk medium (2.5 g/l) did not affect growth and phycocyanin content. However when the content of NaNO_3 was adjusted from that of Zarrouk medium (2.5 g/l) to higher content (10 g/l) phycocyanin was found to increase. Phycocyanin was partially purified by precipitating the crude extract with 20 - 65% ammonium sulfate and subjecting the 65% ammonium sulfate fraction to DEAE-cellulose column and Sephadex G-150 column. The analysis of the obtained phycocyanin by sodium dodecylsulfate polyacrylamide gel electrophoresis showed 2 bands with different band intensity which were assumed to be phycocyanin and allophycocyanin. Further separation by Hydroxylapatite column could separate phycocyanin from allophycocyanin. The molecular weight of phycocyanin subunit as analyzed by sodium dodecylsulfate polyacrylamide gel electrophoresis was 14,000 daltons for Spirulina (BP) and 13,000 daltons for Spirulina (NIFI) and Spirulina (MP).



ศูนย์วิทยทรัพยากร
จุฬาลงกรณ์มหาวิทยาลัย

ภาควิชา
สาขาวิชา
ปีการศึกษา 2534

ลายมือชื่อนิติกร
ลายมือชื่ออาจารย์ที่ปรึกษา
ลายมือชื่ออาจารย์ที่ปรึกษาร่วม



ACKNOWLEDGEMENT

I would like to express my deepest gratitude to my supervisor Dr. Aran Incharoensakdi, for his excellent instruction, guidance, encouragement and support throughout this thesis. Without his kindness and understanding, this work could not be accomplished.

My gratitude is also extended to Dr. Suthep Thaniyavarn, Dr. Pongtep Antarikanonda and Assistant Professor Boosya Bunnag for serving as thesis committee, for their constructive comments and also for valuable suggestions.

My appreciation is also expressed to Dr. Suganya Soontaros, Dr. Vichien Rimpanichayakit, Dr. Tipaporn Limpaseni and Mr. Visitporn Pheunphiphop for valuable comments and special thanks as well go to Dr. Preeda Boonlong for his valuable suggestions and for the access to use Quantum sensor.

I am most thankful to the National Inland Fisheries Institute for the donation of one strain of Spirulina and Miss Pissopa Kitjaharn for her support in helping to collect water samples.

Sincere thanks are also expressed to all staff members and students of the Biochemistry Department for their help in the laboratory and discussion with sincerity and friendships.

Finally, I would like to express my sincere gratitude to my father, my mother and my sisters for their unlimited love, understanding and encouragement. Without them, I would never come to this point.



CONTENT

	Page
THAI ABSTRACT.....	iv
ENGLISH ABSTRACT.....	v
ACKNOWLEDGMENT.....	vi
CONTENT.....	vii
LIST OF TABLE.....	xi
LIST OF FIGURE.....	xii
ABBREVIATION.....	xviii
CHAPTER I INTRODUCTION.....	1
CHAPTER II MATERIALS AND METHODS.....	17
1. Collection of water samples.....	19
2. Collection and cultivation of <u>Spirulina</u>	19
2.1 Cultivation in a 50 ml flask....	19
2.2 Cultivation in a 500 ml chamber.	20
3. Isolation of <u>Spirulina</u>	20
3.1 Purification of <u>Spirulina</u>	20
4. Growth of <u>Spirulina</u> in Zarrouk medium	22
5. Effect of NaHCO_3 content.....	25
6. Effect of NaNO_3	25
7. Effect of K_2HPO_4	25
8. Effect of NaCl	27
9. Effect of light intensity.....	27
10. Effect of light quality.....	27

11. Effect of changing level of nitrate.	28
11.1 Adjusting content of NaNO_3 from low to that of Zarrouk medium..	28
11.2 Adjusting content of NaNO_3 from that of Zarrouk to high content	28
12. Partial purification of phycocyanin	29
12.1 Growth of <u>Spirulina</u>	29
12.2 Ammonium sulfate precipitation..	29
12.3 DEAE-cellulose column.....	31
12.4 Sephadex G-150 column.....	32
12.5 Hydroxylapatite column.....	32
13. Determination of protein.....	33
14. Determination of phycocyanin.....	34
15. Determination of dry weight.....	34
16. Polyacrylamide gel electrophoresis.	35
A) Stock solution.....	35
B) Working solution.....	36
C) Electrode buffer for normal gel..	36
D) Electrode buffer for denaturing gel	36
E) Staining solution.....	37
F) Destaining solution.....	37
CHAPTER III RESULTS.....	39
1. Collection of samples.....	39
2. Isolation and purification of <u>Spirulina</u>	39
3. Optimization studies of <u>Spirulina</u> ...	40
3.1 Effect of NaHCO_3	40

3.2 Effect of NaNO_3	53
3.3 Effect of K_2HPO_4	53
3.4 Effect of NaCl	60
3.5 Effect of light intensity on phycoerythrin content.....	60
3.6 Result of <u>Spirulina</u> grown under optimized condition versus Zarrouk condition.....	67
4. Comparative study of the effect of light quality on phycoerythrin.....	67
4.1 Effect of red light compared with white light.....	74
4.2 Effect of green light compared with white light.....	74
5. Effect of changing level of NaNO_3	74
5.1 From low to Zarrouk medium.....	74
5.2 From Zarrouk medium to high content	74
6. Partial purification of phycoerythrin...	80
6.1 Method for extraction of phycoerythrin	80
6.2 Ammonium sulfate precipitation...	80
6.3 Partial purification of phycoerythrin	87
6.4 Polyacrylamide gel electrophoresis	107
6.5 SDS-PAGE.....	117
6.6 Hydroxylapatite column.....	127
CHAPTER IV DISCUSSION.....	140
CHAPTER V SUMMARY.....	160

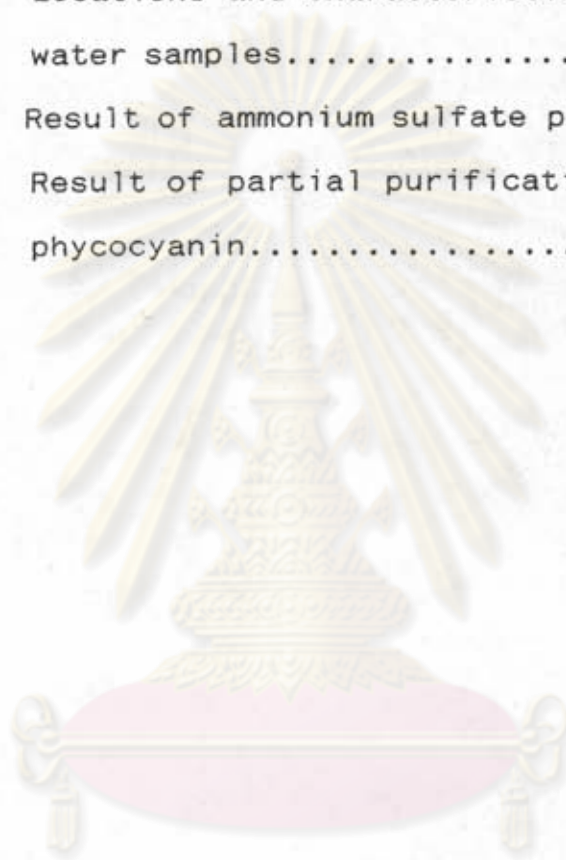
REFERENCES.....	162
APPENDIX.....	169
BIOGRAPHY.....	170



ศูนย์วิทยทรัพยากร
จุฬาลงกรณ์มหาวิทยาลัย

LIST OF TABLES

	Page
TABLE 1 Locations and characteristic of water samples.....	41
TABLE 2 Result of ammonium sulfate precipitation	88
TABLE 3 Result of partial purification of phycocyanin.....	90



ศูนย์วิจัยทรัพยากร
จุฬาลงกรณ์มหาวิทยาลัย

LIST OF FIGURES

		Page
Figure 1	Chemical structure of phycocyanin.....	5
Figure 2	The nature and distribution of bilin prosthetic groups.....	7
Figure 3	Isolation dishes.....	21
Figure 4	Preparations of a fine capillary pipette	23
Figure 5	Isolation of a single cell by a capillary pipette.....	24
Figure 6	Cultivation of <u>Spirulina</u> in a 125 ml flask.....	26
Figure 7	Cultivation of <u>Spirulina</u> in 4 l flask.	30
Figure 8	<u>Spirulina</u> from Wat Benjamaborpit pond	44
Figure 9	<u>Spirulina</u> from the National Inland Fisheries Institute.....	45
Figure 10	<u>Spirulina</u> from Makkasan pond.....	46
Figure 11	Growth and phycocyanin contents of <u>Spirulina</u> (BP) at various time intervals	47
Figure 12	Growth and phycocyanin contents of <u>Spirulina</u> (NIFI) at various time intervals	48
Figure 13	Growth and phycocyanin contents of <u>Spirulina</u> (MP) at various time intervals	49
Figure 14	Growth of <u>Spirulina</u> in Zarrouk medium containing various NaHCO ₃ concentrations	50

Figure 15	Effect of NaHCO_3 concentration on phycocyanin at day 12 of three strains of <u>Spirulina</u>	52
Figure 16	Growth of <u>Spirulina</u> in Zarrouk medium containing various NaNO_3 concentrations	54
Figure 17	Effect of NaNO_3 concentration on phycocyanin at day 12 of three strains of <u>Spirulina</u>	56
Figure 18	Growth of <u>Spirulina</u> in Zarrouk medium containing various K_2HPO_4 concentrations	57
Figure 19	Effect of K_2HPO_4 concentration on phycocyanin at day 12 of three strains of <u>Spirulina</u>	59
Figure 20	Growth of <u>Spirulina</u> in Zarrouk medium containing various NaCl concentrations	61
Figure 21	Effect of NaCl concentration on phycocyanin at day 12 of three strains of <u>Spirulina</u>	63
Figure 22	Growth of <u>Spirulina</u> in Zarrouk medium under various light intensities.....	64
Figure 23	Effect of light insities on phycocyanin at day 12 of three strains of <u>Spirulina</u>	66
Figure 24	Growth of <u>Spirulina</u> in Zarrouk medium and in optimized Zarrouk medium	68
Figure 25	Phycocyanin content of <u>Spirulina</u> in Zarrouk medium and in optimized Zarrouk medium	70

Figure 26	Optical characteristics of the red and green filters.....	72
Figure 27	Growth of <u>Spirulina</u> in Zarrouk medium under red light and white light.....	75
Figure 28	Growth of <u>Spirulina</u> in Zarrouk medium under green light and white light....	77
Figure 29	Effect of light quality on phycocyanin at day 12 of three strains of <u>Spirulina</u>	79
Figure 30	Growth of <u>Spirulina</u> (BP) in changing level of NaNO_3 concentrations.....	81
Figure 31	Growth of <u>Spirulina</u> (NIFI) in changing level of NaNO_3 concentrations.....	82
Figure 32	Growth of <u>Spirulina</u> (MP) in changing level of NaNO_3 concentrations.....	83
Figure 33	Effect of changing level of NaNO_3 on phycocyanin in <u>Spirulina</u> (BP).....	84
Figure 34	Effect of changing level of NaNO_3 on phycocyanin in <u>Spirulina</u> (NIFI).....	85
Figure 35	Effect of changing level of NaNO_3 on phycocyanin in <u>Spirulina</u> (MP).....	86
Figure 36	Chromatographic profile of DEAE-cellulose column I from <u>Spirulina</u> (BP).....	95
Figure 37	Rechromatography of the first DEAE-cellulose column from <u>Spirulina</u> (BP).....	97
Figure 38	Chromatographic profile of Sephadex G-150 column from <u>Spirulina</u> (BP).....	99

Figure 39	Chromatographic profile of DEAE-cellulose column I from <u>Spirulina</u> (NIFI).....	101
Figure 40	Rechromatography of the first DEAE-cellulose column from <u>Spirulina</u> (NIFI).....	103
Figure 41	Chromatographic profile of Sephadex G-150 column from <u>Spirulina</u> (NIFI).....	105
Figure 42	Chromatographic profile of DEAE-cellulose column I from <u>Spirulina</u> (MP).....	108
Figure 43	Rechromatography of the first DEAE-cellulose column from <u>Spirulina</u> (MP).....	110
Figure 44	Chromatographic profile of Sephadex G-150 column from <u>Spirulina</u> (MP).....	112
Figure 45	Polyacrylamide gel electrophoresis of phycocyanin from <u>Spirulina</u> (BP).....	114
Figure 46	Polyacrylamide gel electrophoresis of phycocyanin from <u>Spirulina</u> (NIFI)....	115
Figure 47	Polyacrylamide gel electrophoresis of phycocyanin from <u>Spirulina</u> (MP).....	116
Figure 48	SDS-polyacrylamide gel electrophoresis of phycocyanin from <u>Spirulina</u> (BP)...	118
Figure 49	Determination of the molecular weight of phycocyanin from <u>Spirulina</u> (BP)...	119
Figure 50	SDS-polyacrylamide gel electrophoresis of phycocyanin from <u>Spirulina</u> (NIFI)..	120
Figure 51	Determination of the molecular weight of phycocyanin from <u>Spirulina</u> (NIFI)..	121

Figure 52	Polyacrylamide gel electrophoresis of phycocyanin from <u>Spirulina</u> (MP).....	122
Figure 53	Determination of the molecular weight of phycocyanin from <u>Spirulina</u> (MP)...	123
Figure 54	Absorption spectra of fraction of <u>Spirulina</u> (BP).....	124
Figure 55	Absorbtion spectra of fraction of <u>Spirulina</u> (NIFI).....	125
Figure 56	Absorbtion spectra of fraction of <u>Spirulina</u> (MP).....	126
Figure 57	Absorption spectra of "Linablue" in 0.02 M phosphate buffer pH 7.5.....	128
Figure 58	Chromatographic profile on Hydroxylapatite column from <u>Spirulina</u> (BP).....	129
Figure 59	Chromatographic profile on Hydroxylapatite column from <u>Spirulina</u> (NIFI).....	131
Figure 60	Chromatographic profile on Hydroxylapatite column from <u>Spirulina</u> (MP).....	133
Figure 61	SDS-Polyacrylamide gel electrophoresis of peak fraction after Hydroxylapatite column.....	135
Figure 62	Absorption spectra of the two major biliproteins of <u>Spirulina</u> (BP) after Hydroxylapatite column.....	136
Figure 63	Absorption spectra of the two major biliproteins of <u>Spirulina</u> (NIFI) after Hydroxylapatite column.....	137

Figure 64	Absorption spectra of the two major biliproteins of <u>Spirulina</u> (MP) after Hydroxylapatite column.....	138
Figure 65	Absorption spectra of 65 % $(\text{NH}_4)_2\text{SO}_4$ fraction of <u>Spirulina</u> (BP).....	155
Figure 66	Absorption spectra of 65 % $(\text{NH}_4)_2\text{SO}_4$ fraction of <u>Spirulina</u> (NIFI).....	156
Figure 67	Absorption spectra of 65 % $(\text{NH}_4)_2\text{SO}_4$ fraction of <u>Spirulina</u> (MP).....	157



ศูนย์วิทยทรัพยากร
จุฬาลงกรณ์มหาวิทยาลัย

ABBREVIATION

°C	Degree celcius
hr	hour
l	litre
lb	pound
M	Molar
mg	milligram (10 ⁻³ gram)
min	minute
ml	millilitre (10 ⁻³ litre)
mM	millimolar (10 ⁻³ molar)
nm	nanogram (10 ⁻⁶ gram)
OD	Optical density
rpm	revolution per minute
μ	micron
lux	Photometric = 1 lm ⁻² = 0.0929 lmft ² = 0.0929 foot candle = 0.001 Klux
μEs ⁻¹ m ⁻²	1 μmols ⁻¹ m ⁻² = 6.022 x 10 ¹⁷ photons s ⁻¹ m ⁻² = 6.002 x 10 ¹⁷ quanta s ⁻¹ m ⁻²
PPFD	photosynthetic photon flux density
1%	
E	The specific extinction coefficients
1cm	